

# 고주파 회전 전압 신호 인가 방식을 이용한 영구자석 동기 전동기의 인덕턴스 추정

김재학, 남광희  
포항공과대학교

## Inductance Estimation of PMSM Using Rotating High Frequency Voltage Injection

Jaehak Kim, Kwanghee Nam  
Pohang University of Science and Technology (POSTECH)

### ABSTRACT

영구자석 동기 전동기의 PI 전류 제어기 이득은 대역폭과 파라미터에 의해 결정된다. 파라미터 추정 시 필요한 전류 제어기 이득을 임의로 설정할 수밖에 없다는 문제가 있다. 본 논문은 정지좌표계에 대해 회전하는 전압 신호를 인가하여 초기 위치를 추정함과 동시에 인덕턴스를 일정 오차 내로 추정하여 빠르게 인덕턴스를 추정하고, 이를 이용해 전류 제어기 이득을 전동기의 전기적 파라미터에 맞게 설정할 수 있는 방식을 제안한다.

### 1. 서 론

영구자석 동기 전동기의 센서리스 제어를 위해 모터 파라미터 추정이 필수적이다. 인덕턴스를 추정하기 위해 다양한 방법들이 제안되었다. 운전 조건에 따라 변하는 인덕턴스를 추정할 수 있는 운전상태 시험법<sup>[1]</sup>은 부하 모터가 필요하며, 회전자 위치 센서가 필요한 단점 때문에 정지 상태 시험법이 제안되었다.

동기 d-q축에 맥동하는 고주파 전압 신호를 인가하여 인덕턴스를 추정 시<sup>[2]</sup> 회전자의 초기 위치가 필요하며, 파라미터를 몰라 인덕턴스 추정뿐 아니라 저항 추정 시 사용하는 PI 전류 제어기 이득으로 임의의 값을 선정해야 하는 문제가 존재한다.

본 논문에서는 영구자석 동기 전동기의 동기 d-q 축에 맥동하는 전압 신호를 인가하는 대신, 정지  $\alpha-\beta$  축에 대해 회전하는 전압 신호를 인가하여 초기 위치를 추정함과 동시에 d축 인덕턴스를 최대 30% 오차 이내로 추정하여 대략적인 파라미터를 빠르게 추정함과 동시에 파라미터 추정 시 전류 제어기 이득 선정에 도움을 줄 수 있는 방법을 제안한다.

### 2. 회전 전압 벡터 인가를 이용한 인덕턴스 추정

#### 2.1 영구자석 동기 전동기의 고주파 신호 인가 모델

영구자석 동기 전동기의 코어 포화, 와류손, 히스테리시스 손을 무시한다고 가정하면 정지 좌표축에 대한 전동기의 전압 방정식은 (1)과 같다.

$$V_{\alpha\beta} = R_s i_{\alpha\beta} + pL_{\alpha\beta} \dot{i}_{\alpha\beta} + p\varphi_m e^{j\theta_e} \quad (1)$$

$$L_{\alpha\beta} = \begin{bmatrix} L_0 + L_1 \cos(2\theta_e) & L_1 \sin(2\theta_e) \\ L_1 \sin(2\theta_e) & L_0 - L_1 \cos(2\theta_e) \end{bmatrix}$$

$$L_0 = \frac{L_d + L_q}{2}, \quad L_1 = \frac{L_d - L_q}{2}$$

$V_{\alpha\beta} = V_\alpha + jV_\beta$ ,  $i_{\alpha\beta} = i_\alpha + ji_\beta$  이며,  $L_{\alpha\beta}$ 는 인덕턴스 행렬,  $L_0$ 은 평균 인덕턴스,  $L_1$ 은 증분 인덕턴스,  $\theta_e$ 는 회전자 위치의 전기각,  $\varphi_m$ 은 영구자석의 쇄교 자속이다.

정지 좌표축에 대해 전압 벡터를 높은 주파수로 회전시키면, 회전자는 정지 상태를 유지하며, 저항에 의한 전압 강하 성분이 무시 가능하므로 전압 방정식은 (2)와 같다.

$$V_{\alpha\beta} = pL_{\alpha\beta} \dot{i}_{\alpha\beta} \quad (2)$$

#### 2.2 회전 전압 벡터를 이용한 인덕턴스 추정

$\alpha$  축에 대해  $90^\circ$  위치로부터 반시계 방향으로  $\omega_h$  속도로 회전하는  $V_h$  크기의 전압 벡터를 전동기에 인가하면 응답 전류는 (4)와 같다.

$$V_{\alpha\beta} = jV_h e^{j\omega_h t} = \begin{bmatrix} -V_h \sin(\omega_h t) \\ V_h \cos(\omega_h t) \end{bmatrix} \quad (3)$$

$$i_{\alpha\beta} = \begin{bmatrix} I_{ph} \cos(\omega_h t) + I_{nh} \cos(2\theta_e - \omega_h t) \\ I_{ph} \sin(\omega_h t) + I_{nh} \sin(2\theta_e - \omega_h t) \end{bmatrix} \quad (4)$$

$$I_{ph} = \frac{V_h L_0}{\omega_h (L_0^2 - L_1^2)} \quad I_{nh} = -\frac{V_h L_1}{\omega_h (L_0^2 - L_1^2)}$$

$I_{ph}$ 와  $I_{nh}$ 를 이용하여 다음과 같은 관계를 얻을 수 있고, 변수  $L_h$ 를 (6)과 같이 정의한다.

$$I_{ph}^2 + I_{nh}^2 = \frac{V_h^2}{2\omega_h^2} \left( \frac{1}{L_d^2} + \frac{1}{L_q^2} \right) \quad (5)$$

$$\frac{1}{L_h^2} = \left( \frac{1}{L_d^2} + \frac{1}{L_q^2} \right) \quad (6)$$

매입형 영구자석 동기 전동기는 d축을 영구자석의 N극으로 정하면  $L_d < L_q$ 이므로  $L_h$ 는  $L_d$ 와 근사한 값을 갖게 된다. 둘

극비  $m$ 에 대해  $L_q = mL_d (m \geq 1)$ 로 정하면  $L_h$ 는 (7)과 같이 돌극비로 표현된다.

$$L_h = \frac{m}{\sqrt{m^2 + 1}} L_d \quad (7)$$

돌극비가 클수록  $L_h$ 가  $L_d$ 에 근사하며, 돌극비가 1일 때 오차는 최대 30%로 제한된다.

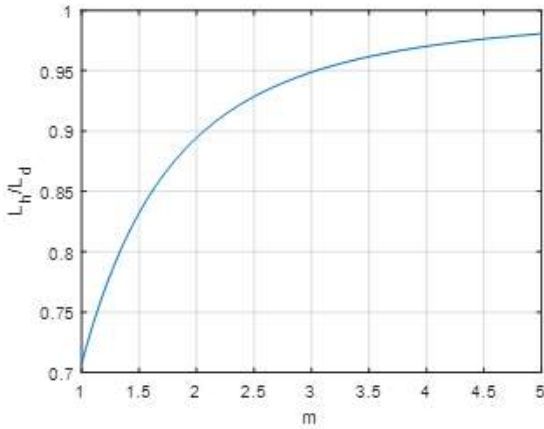


그림 1 돌극비에 따른  $L_h/L_d$  변화

3상 전류 성분에서  $L_h$ 를 직접 유도할 수 있다. (4)를 3상 좌표계 전류 성분으로 변환하고 진폭을 구하면 (9)과 같다.<sup>[3]</sup>

$$\begin{bmatrix} I_{ah} \\ I_{bh} \\ I_{ch} \end{bmatrix} = \begin{bmatrix} \sqrt{I_{ph}^2 + I_{nh}^2 + 2I_{ph}I_{nh}\cos(2\theta_e)} \\ \sqrt{I_{ph}^2 + I_{nh}^2 + 2I_{ph}I_{nh}\cos\left(2\left(\theta_e - \frac{2\pi}{3}\right)\right)} \\ \sqrt{I_{ph}^2 + I_{nh}^2 + 2I_{ph}I_{nh}\cos\left(2\left(\theta_e + \frac{2\pi}{3}\right)\right)} \end{bmatrix} \quad (9)$$

DFT를 통해 3상 전류 진폭을 구하면, (5)와 (10)을 이용하여 회전자 위치에 상관없이  $L_h$ 를 구할 수 있다.

$$\frac{2}{3}(I_{ah}^2 + I_{bh}^2 + I_{ch}^2) = 2(I_{ph}^2 + I_{nh}^2) = \frac{V_h^2}{\omega_h^2 L_h^2} \quad (10)$$

$$L_h = \frac{V_h^*}{\omega_h^* \sqrt{\frac{2}{3}(I_{ah}^2 + I_{bh}^2 + I_{ch}^2)}} \quad (11)$$

### 3. 시뮬레이션 결과

표 1과 같이 시뮬레이션 모델을 만들고  $L_h$ 를 추정한 결과, 6.61mH로 추정되며, 7.68%의 오차를 보였다.

표 1 모터 및 시뮬레이션 파라미터

$L_d$ [mH]	7.16	$V_h$	50
$L_q$ [mH]	17.16	$f_h$	250
$R_s$ [ $\Omega$ ]	0.3		

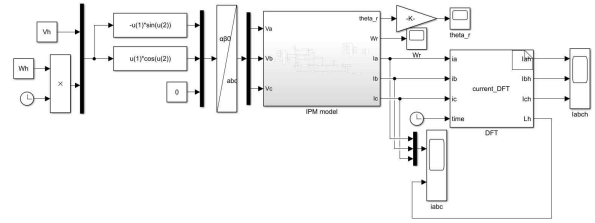


그림 2  $L_h$  추정 시뮬레이션 모델

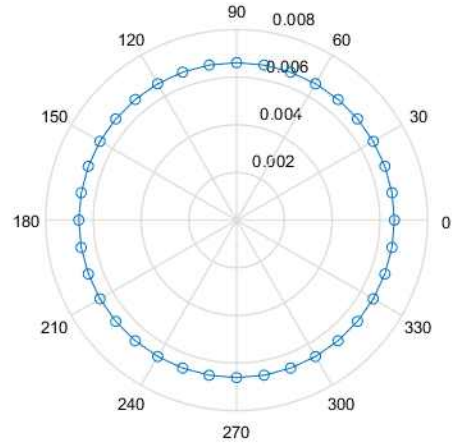


그림 3 회전자 위치에 따른 추정  $L_h$

### 4. 결론

본 논문은 회전 전압 벡터를 인가해 초기 위치를 알 필요 없이 파라미터 추정 시 PI 전류 제어기 이득에 사용되기 위한 d축 인덕턴스를 추정하는 방법을 제안한다. 3상 전류 성분의 크기를 이용하여 빠르게 d축 인덕턴스를 추정할 수 있도록 수식을 유도하고 시뮬레이션을 통해 검증하였다.

이 논문은 산업통상자원부의 재원으로 2019년 광역협력 권산업육성사업의 연구비 지원에 의하여 연구되었음.  
(P0006203 - 용량 가변형 전기 상용차용 병렬 구동 모듈 개발)

### 참고 문헌

- [1] K. M. Rahman and S. Hiti, "Identification of machine parameters of a synchronous motor," in IEEE Transactions on Industry Applications, vol. 41, no. 2, pp. 557-565, March-April 2005.
- [2] G. Wang et al., "Self-Commissioning of Permanent Magnet Synchronous Machine Drives at Standstill Considering Inverter Nonlinearities," in IEEE Transactions on Power Electronics, vol. 29, no. 12, pp. 6615-6627, Dec. 2014.
- [3] H. Li, X. Zhang, S. Yang, F. Li and M. Ma, "Improved initial rotor position estimation of IPMSM using amplitude demodulation method based on HF carrier signal injection," IECON 2017 - 43rd Annual Conference of the IEEE Industrial Electronics Society, Beijing, 2017, pp. 1996-2001.